Révision: 6839

Date: 01/08/2011 Page: 1/6

Clé: V3.01.103

Titre : SSLL103 - Flambement élastique d'une cornière

Responsable : Jean-Luc FLÉJOU

# SSLL103 - Flambement élastique d'une cornière

### Résumé:

Une poutre droite (cornière à ailes égales) biarticulée est soumise à un effort normal (excentré ou non) ou à un moment fléchissant.

On cherche les charges critiques de flambement élastique.

- mécanique élastique linéaire,
- · flambement d'une poutre,
- · excentrement du centre de torsion,
- intérêt du test : calcul de la matrice de rigidité géométrique des éléments POU D TG et POU D T,
- · 2 modélisations.

Une incertitude persiste sur le nombre de modes de flambement de la solution de référence [§5].

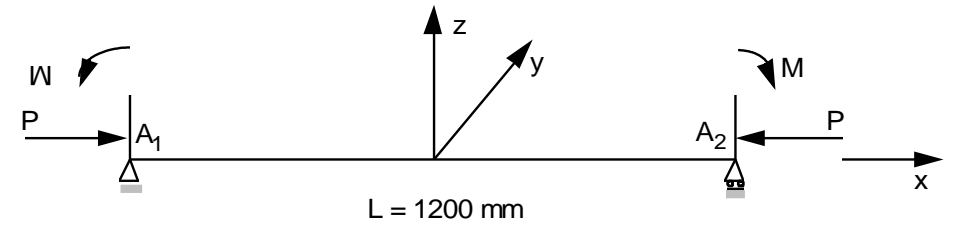
Révision: 6839

Titre: SSLL103 - Flambement élastique d'une cornière

Responsable : Jean-Luc FLÉJOU

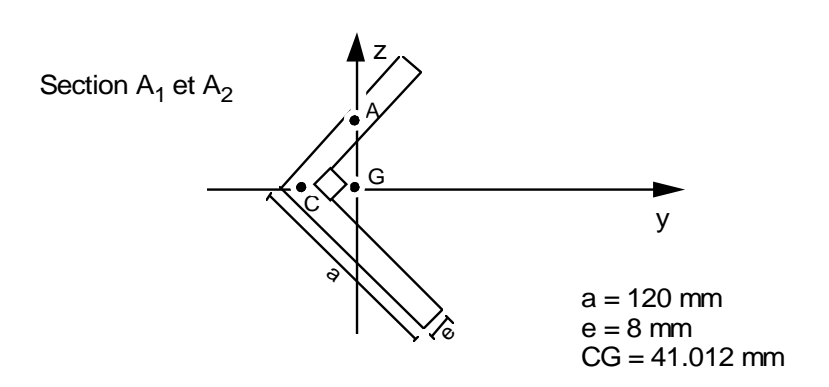
# Clé: V3.01.103 Problème de référence

# Géométrie



### Caractéristiques de la section

Date: 01/08/2011 Page: 2/6



1856 mm<sup>2</sup> 4167339 mm<sup>4</sup> 1045547 mm<sup>4</sup> 39595 mm<sup>4</sup>  $I_{\omega} = 44398819 \text{ mm}^6$  $l_{vr2} = 84948392 \text{ mm}^5$ -41.012 mm 0

#### 1.2 Propriétés de matériaux

Module d'Young: E = 2.10E - 5 MPaCoefficient de Poisson: v=0.3

#### **Conditions aux limites et chargements** 1.3

A1: DX = DY = DZ = DRX = 0A2: DY = DZ = DRX = 0

Chargement

•cas 1 : effort axial P en G•cas 2 : effort axial P en C•cas 3 : effort axial P en A• cas 4 : moment fléchissant M

#### 1.4 Remarques

Pour les cas 2 et 3, on applique en A2 un effort en G, puis on superpose en A1 et A2 un moment de flexion (suivant oz pour cas 2, suivant oy pour cas 3) pour excentrer l'effort en C (ou en A).

Titre : SSLL103 - Flambement élastique d'une cornière

Date: 01/08/2011 Page: 3/6 Responsable : Jean-Luc FLÉJOU Clé: V3.01.103 Révision: 6839

### Solution de référence

#### 2.1 Méthode de calcul utilisée pour la solution de référence

Avec prise en compte du gauchissement, les calculs faits par V. De Ville De Goyet [bib1] donnent :

$$\begin{split} I_{y} &= \int_{A} z^{2} dA & I_{y} &= \int_{A} y^{2} dA & I_{yr^{2}} &= \int_{A} y \left(y^{2} + z^{2}\right) dA & I_{yr^{2}} &= \int_{A} z \left(y^{2} + z^{2}\right) dA \\ P_{cry} &= \frac{\pi^{2} E I_{z}}{L^{2}} & P_{crz} &= \frac{\pi^{2} E I_{y}}{L^{2}} & P_{crx} &= \left(\frac{GJ + \pi^{2} E I_{w}}{L^{2}}\right) Ar_{a} \\ Ar_{c} &= \frac{\left(I_{y} + I_{z}\right)}{A} + y_{c}^{2} + z_{c}^{2} + y_{c} \left(\frac{I_{yrz}}{Iz} - 2y_{c}\right) + z_{c} \left(\frac{I_{zr^{2}}}{Iz} - 2z_{c}\right) \\ Ar_{a} &= \frac{\left(I_{y} + I_{z}\right)}{A} + y_{c}^{2} + z_{c}^{2} + y_{a} \left(\frac{I_{yrz}}{Iz} - 2y_{c}\right) + z_{a} \left(\frac{I_{zr^{2}}}{Iz} - 2z_{c}\right) \end{split}$$

avec:

 $(y_a, z_a)$ : coordonnées du point d'application de l'effort

 $(y_c, z_c)$ : coordonnées du centre de torsion

Cas 1, 2, 3:

On obtient 3 charges critiques en résolvant l'équation du  $3^{\circ}$  degré en P:

$$Ar_{a}(P_{cry}-P)(P_{crz}-P)(P_{crz}-P)-P^{2}(P_{crz}-P)(z_{c}-z_{a})^{2}-P^{2}(P_{cry}-P)(y_{c}-y_{a})^{2}=0$$

Le moment critique Mcr (autour de l'axe y) vaut :

$$Mcr = \pm \left( \left( G J + \frac{\pi^2 E I_{\omega}}{L^2} \right) P_{cry} \right)^{1/2}$$

En négligeant le gauchissement : la solution analytique de référence est donnée dans [bib2] [bib3].

#### 2.2 Résultats de référence

Valeurs des charges critiques correspondant aux premiers modes de flambage pour les différents cas de charge.

#### 2.3 Incertitude sur la solution

Solution analytique. Les valeurs de référence sont obtenues à l'aide de NAG (routine COSAGF),  $EPS = 10^{-8}$ ).

#### 2.4 Références bibliographiques

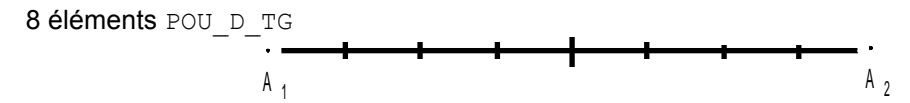
- 1.V. DE VILLE DE GOYET "Analyse statique non linéaire par la méthode des éléments finis des structures spatiales formées de poutres à section non symétrique" - Thèse de doctorat Université de Liège, MSM, année académique (1988-1989).
- 2.P. PENSERINI "Instabilité élastique des poutres à profil mince ouvert : aspects théoriques et numériques" Note EDF/DER/HM77/112.
- 3.J. CERISIER "Propagation de deux cas tests de modélisation du calcul des poutres en flambement élastique dans le Code\_Aster" HM77/184

Titre: SSLL103 - Flambement élastique d'une cornière

Date: 01/08/2011 Page: 4/6 Responsable : Jean-Luc FLÉJOU Clé: V3.01.103 Révision: 6839

#### **Modélisation A** 3

#### 3.1 Caractéristiques de la modélisation



#### Caractéristiques du maillage 3.2

Nombre de nœuds : 9

Nombre de mailles et types : 8 SEG2

#### 3.3 Grandeurs testées et résultats

Identification	Référence
Cas 1	
mode 1	-6.92531E+05
mode 2	-1.50487E+06
mode 3	-1.00589E+07
Cas 2	
mode 1	-1.50487E+06
mode 2	-5.99812E+06
mode 3	1.47904E+06
Cas 3	
mode 1	-5.72260E+05
mode 2	-2.45950E+06
mode 3	-1.85673E+07
Cas 4	
mode 1	7.00631E+07

#### 3.4 Remarques

La précision est excellente avec 8 éléments dans la longueur.

Révision: 6839

Date: 01/08/2011 Page: 5/6

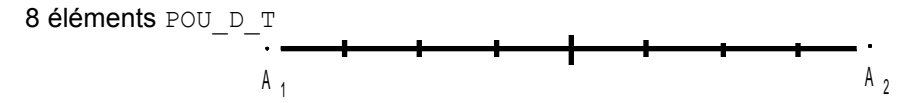
Clé: V3.01.103

Titre : SSLL103 - Flambement élastique d'une cornière

Responsable : Jean-Luc FLÉJOU

### 4 Modélisation B

### 4.1 Caractéristiques de la modélisation



# 4.2 Caractéristiques du maillage

Nombre de nœuds : 9

Nombre de mailles et types : 8 SEG2

### 4.3 Grandeurs testées et résultats

Identification	Référence
Cas 1	
mode 1	-6.796E+05
mode 2	-1.505E+06
mode 3	-1.0055E+07
Cas 2	
mode 1	-1.505E+06
mode 2	-5.998E+06
Cas 3	
mode 1	-5.638E+05
mode 2	-2.453E+06
mode 3	-1.8525E+07
Cas 4	
mode 1	6.9376E+07

### 4.4 Remarques

La précision est assez bonne avec 8 éléments dans la longueur. La solution diffère un peu de celle obtenue avec gauchissement (modélisation A).

Version default

Titre: SSLL103 - Flambement élastique d'une cornière

Date: 01/08/2011 Page: 6/6 Responsable : Jean-Luc FLÉJOU Clé: V3.01.103 Révision: 6839

#### Synthèse des résultats 5

La solution analytique nous donne 3 modes de flambement dont les charges critiques sont racines d'une équation du 3° degré.

Y-a-t-il d'autres charges critiques intercalées entre les 3 valeurs trouvées ?

Aster retrouve les bonnes charges critiques, mais au milieu de beaucoup d'autres ... par exemple pour le cas 3, les 3 charges critiques cherchées correspondent aux NUME MODE: 1, 10 et 19.

Ceci est vrai pour les deux modélisations.